



Popayán, 4 de noviembre de 2025

## Actividad volcánica del segmento central de Colombia

Del seguimiento de la actividad volcánica durante el mes de septiembre, el **Servicio Geológico Colombiano (SGC)**, entidad adscrita al **Ministerio de Minas y Energía**, presenta el informe de la actividad de las estructuras volcánicas que conforman este segmento del país:



La red de estaciones sismológicas del **volcán Nevado del Huila (VNH)** detectó un total de 1008 eventos sísmicos durante el periodo comprendido entre el 1 y el 30 de septiembre de 2025, de los cuales 271 estuvieron relacionados con fracturamiento de roca y 737 con la dinámica de fluidos en los conductos volcánicos; de estos últimos 698

fueron catalogados como sismos de Largo Periodo (tipo LP), 18 como pulsos de tremor de baja magnitud (tipo TR) y 21 estuvieron asociados tanto a fracturamiento de roca como a dinámica de fluidos, por lo que fueron clasificados como eventos híbridos (tipo HB). En la Figura 1(a) se muestra el número de sismos registrados diariamente durante el último año de monitoreo sísmico, en ella es posible observar que se mantiene la prevalencia de la sismicidad LP en la dinámica del sistema volcánico, y que para el mes evaluado se tuvo un aumento en comparación con lo registrado en meses anteriores. En cuanto a la sismicidad de fractura, el número de eventos también mostró una leve tendencia al aumento



# Boletín mensual

alcanzando un número similar a lo registrado en el pasado mes de abril. Es importante resaltar que estas variaciones se mantienen dentro de lo usualmente observado en la línea base establecida para este volcán, y, que, de acuerdo con lo observado en cuanto a las magnitudes calculadas para estos eventos, así como en la tendencia en la energía sísmica liberada evaluada de manera acumulada, no se identificaron variaciones destacadas en el comportamiento de la actividad volcánica. En la Figura 1(b) se observan las curvas de energía sísmica acumulada para el último año de monitoreo sísmico, en ellas se aprecia que la pendiente de la sismicidad VT continúa mostrando cambios puntuales relacionados con el registro de sismos de magnitudes superiores al promedio, mientras que la tendencia de los eventos LP permanece estable en el tiempo.

Las localizaciones obtenidas durante el mes de septiembre para los sismos de fractura no mostraron variaciones importantes en cuanto a su distribución epicentral ni en los rangos de profundidad observados. Los sismos que alcanzaron las mayores magnitudes ocurrieron los días 2, 3 y 14 con valores de 2, 2.3, y 2.7  $M_L$  (Figura 1c), respectivamente; se destaca que los dos últimos eventos se generaron en inmediaciones del Pico Central en un radio no mayor a 2 km de este, a una profundidad, para ambos eventos, inferior a 1 km. Cabe mencionar que en este sector de la estructura volcánica se localizan esporádicamente eventos superficiales – entre 1 y 2 km de profundidad- con magnitudes superiores a 2  $M_L$ , sin embargo, se resalta que esta sismicidad de fractura no se ha relacionado hasta el momento con variaciones destacadas en el comportamiento de la actividad volcánica, y su ocurrencia puede reflejar la interacción entre los procesos propios de la dinámica del volcán en esos rangos de profundidad, y la liberación o reacomodamiento de esfuerzos tectónicos del sistema de falla de Moras presente en este sector. El resto de la sismicidad localizada se distribuyó en las fuentes distales NE y SO, con eventos generados a distancias mayores a los 10 km de la cima volcánica y en rangos de profundidad entre 6 y 15 km para los primeros, y entre 6 y 9 km para los segundos (Figura 2).



# Boletín mensual

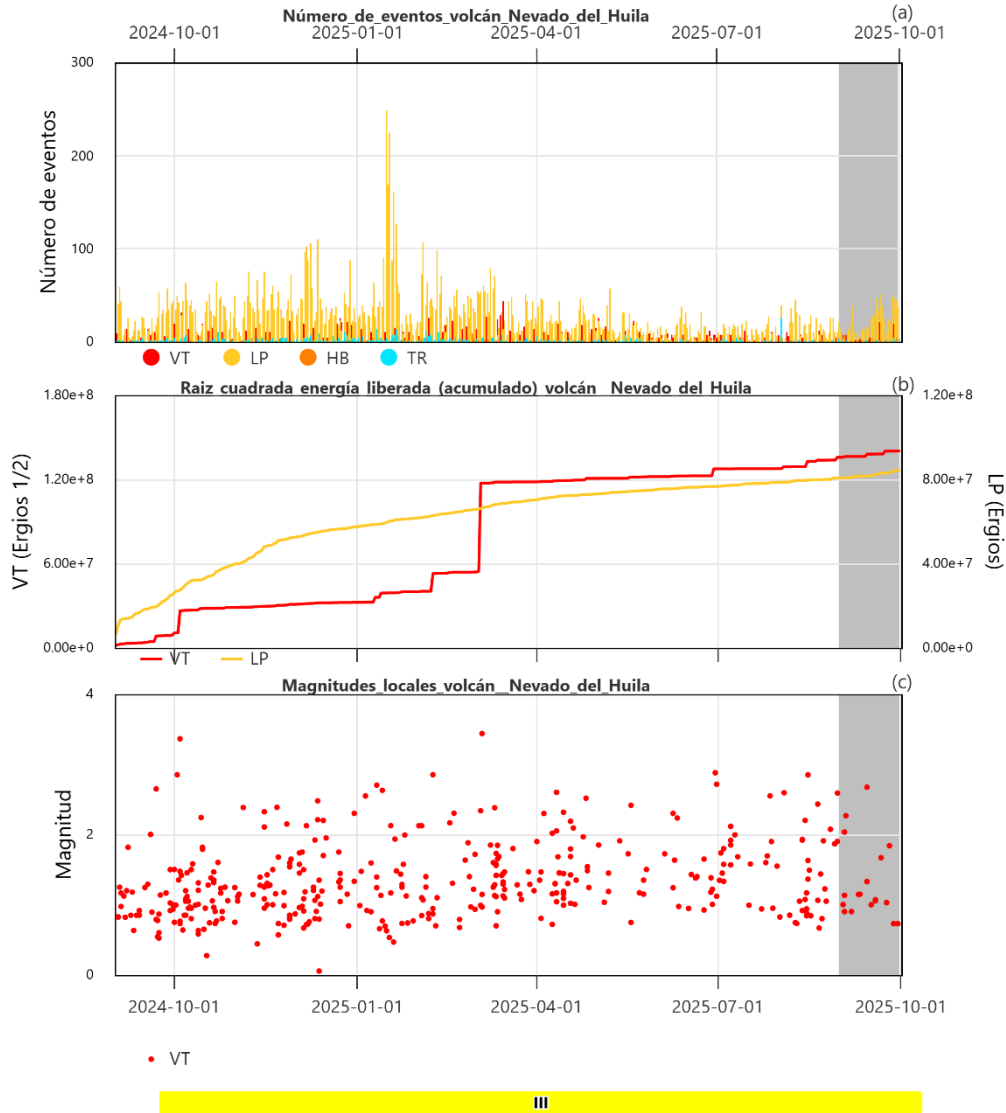


Figura 1. a) Número de sismos diario. b) Raíz cuadrada de energía sísmica diaria. c) Raíz cuadrada de energía sísmica acumulada. d) Magnitud local de eventos VT localizados. Serie de tiempo del 1 de septiembre de 2024 al 30 de septiembre de 2025. Se resalta en recuadro gris el mes evaluado.

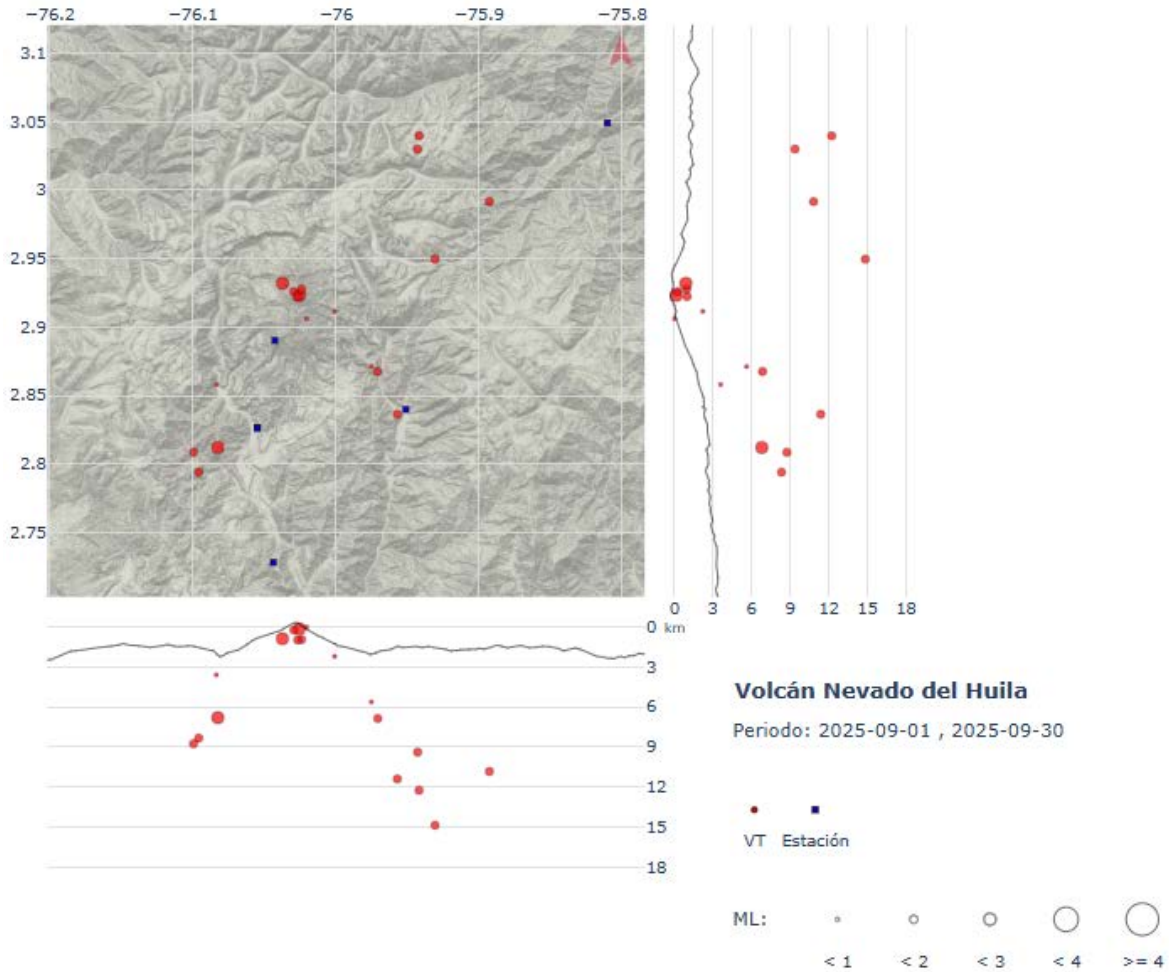


Figura 2. Localización de sismos VT ocurridos durante el mes de septiembre de 2025 en el VNH. Los círculos indican las localizaciones epicentrales e hipocentrales, cuyos tamaños varían según la magnitud. Los cuadros azules representan las estaciones sísmicas.

Durante el mes de septiembre la red de monitoreo de deformación del suelo del VNH no registró cambios. Tanto el inclinómetro electrónico como la estación GNSS Caloto presentaron un comportamiento estable en la tendencia de sus datos, lo cual se puede observar en la Figura 3.

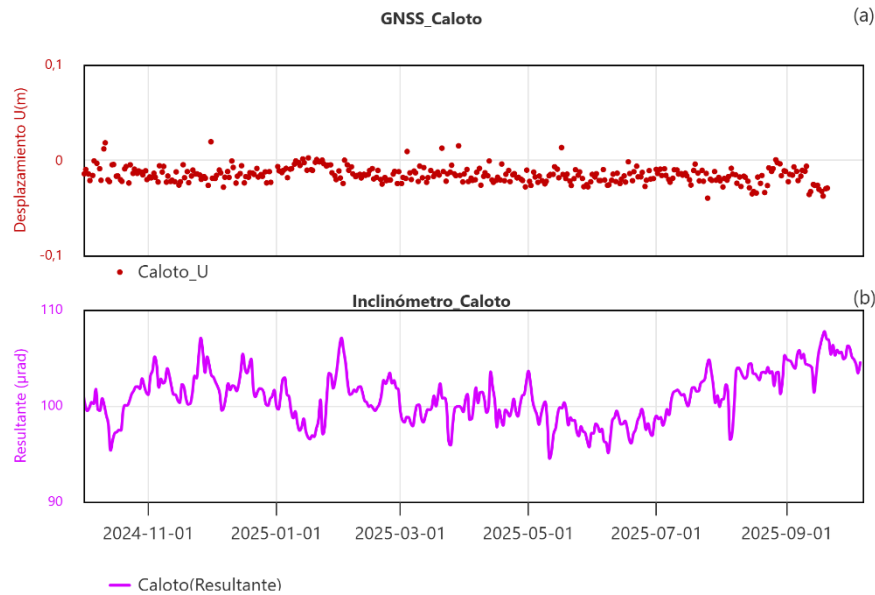


Figura 3. a) Serie temporal de la componente Vertical de la estación GNSS permanente Caloto. b) serie temporal de la Resultante del inclinómetro Caloto entre el 1 de octubre de 2024 y el 30 de septiembre de 2025.

En el monitoreo de la actividad superficial realizado a través de las cámaras web Caloto, Maravillas, La Palma y Tafxnú durante el mes de septiembre, no fueron detectados cambios morfológicos relacionados con la actividad volcánica. La desgasificación del sistema volcánico se caracterizó por bajos aportes de color blanco, indicando una presencia composicional de vapor de agua en las fumarolas que se emiten a través del sistema de grietas que atraviesan el Pico central. Fue posible apreciar recarga del glaciar principalmente hacia el Pico sur del volcán, esto, debido a las condiciones hidrometeorológicas en la zona. Algunas imágenes durante el mes se comparten a continuación (Figura 4).

Los gases emitidos se dispersaron principalmente hacia el NOO del edificio volcánico, siguiendo el patrón de vientos predominante en la zona. El Modelo pronostico WRF del IDEAM (Figura 5), reportó datos con velocidades máximas hasta de 15,1 m/s, equivalentes a 54,4 km/h, conservando un promedio de 8.6 m/s equivalentes a 31 Km/h para un estrato de 18000 ft (5.486 msnm) y un máximo de 5,4 m/s, equivalentes a 19,4 km/h, con un promedio de 2,3 m/s equivalentes a 8,3 km/h para un estrato de 10000 ft (3.048 msnm).



De acuerdo con la línea base las velocidades reportadas para este periodo, se considera que son bajas para este volcán.

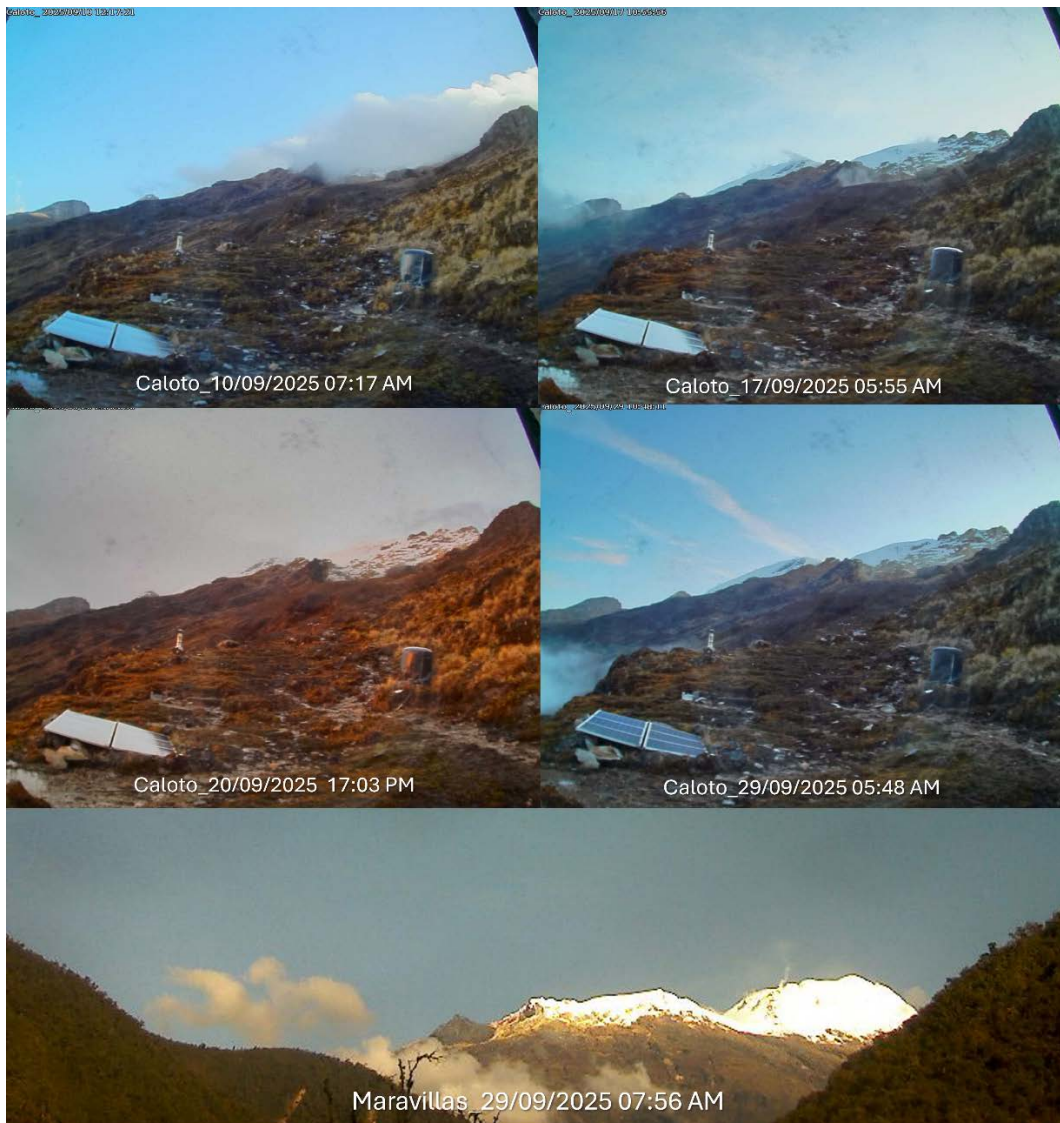


Figura 4. Fotografías de la parte alta del pico Central, se observa constante desgasificación VNH. Imágenes obtenidas por las cámaras web Caloto, 10, 17 20 y 29 de septiembre (superior) y Maravillas (inferior), 29 de septiembre de 2025



# Boletín mensual

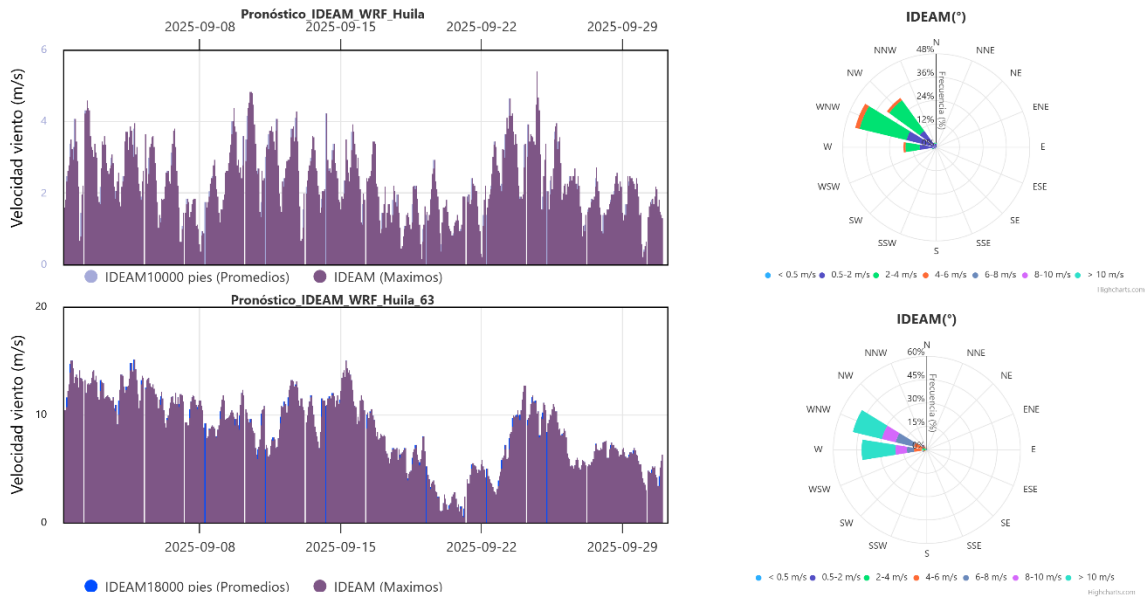


Figura 5 Modelo pronostico WRF- IDEAM volcán Nevado del Huila, septiembre de 2025

En cuanto al seguimiento a las emisiones de dióxido de azufre ( $\text{SO}_2$ ) realizado de manera satelital, fueron detectados valores bajos de masa emitida y concentración de hasta 0.020 kt y 0.662 DU, respectivamente, con radios de emisión entre 25-75 km, con dirección hacia el NW respecto al volcán Nevado del Huila (Figura 6).

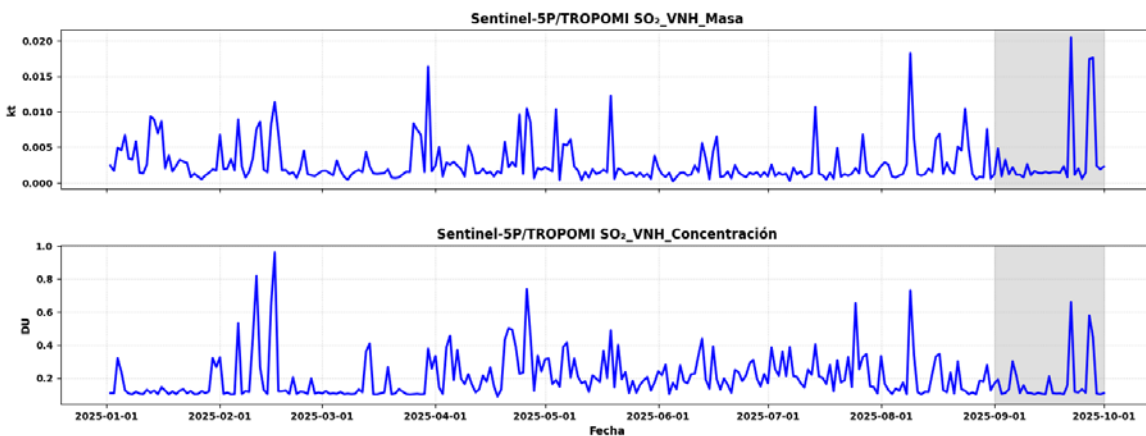


Figura 6. Gráfico de registro satelital de emisiones de  $\text{SO}_2$  con relación a la masa emitida y concentración



# Boletín mensual

---

Por lo anterior, el nivel de actividad del **volcán nevado del Huila** continúa en estado de **ALERTA AMARILLA**  (o III): volcán activo con cambios en el comportamiento del nivel base de los parámetros monitoreados y otras manifestaciones.



# Boletín mensual



La actividad sísmica registrada durante el mes de septiembre de 2025 en el **volcán Puracé - cadena volcánica Los Coconucos (VP – CVLC)** mostró un aumento, tanto en el número de eventos registrados como en la energía sísmica liberada, esto en comparación con los meses anteriores. Fueron 4382 los eventos sísmicos generados, de los cuales 357 estuvieron relacionados con procesos de

fracturamiento de roca (tipo VT) y 4025 con la dinámica de fluidos en los conductos volcánicos, de estos, 1872 se clasificaron como sismos de Largo Periodo (tipo LP), 2044 como pulsos de tremor de bajo aporte energético (tipo TR), 10 tuvieron contenido frecuencial por debajo de 1 Hz por lo que fueron catalogados como Baja Frecuencia, (tipo BF) y 99 mostraron características tanto de fractura como de fluidos, siendo clasificados como Híbridos (tipo HB). La actividad sísmica relacionada con tránsito de fluidos predominó ampliamente sobre aquella relacionada con procesos de fractura, mostrando un considerable aumento en los sismos de tipo tremor, principalmente durante los últimos cuatro días del mes.

En las gráficas **a** y **b** de la Figura 7 se muestra el número de sismos registrados diariamente durante el periodo evaluado, observándose una tendencia estable en los VT y, como ya se mencionó, un aumento relevante en los TR. Por su parte, las curvas de energía liberada diaria y acumulada para eventos VT y LP, mostradas en las gráficas c y d de la Figura 7, evidencian que para la sismicidad LP hubo un repunte relevante para los últimos días del mes. En cuanto a las magnitudes, en general fueron bajas, se destaca un evento HB ocurrido el día 9 de septiembre a las 3:01 p. m (Figura 8), el cual alcanzó un valor de 2,2, sin embargo, la mayoría se ubicaron entre -1,0 y 1,0 como se puede observar en la Figura 9 (a y b). Por último, todos los desplazamientos reducidos tuvieron medidas por debajo de los 5 cm<sup>2</sup>, lo que indica niveles energéticos bajos en los sismos de fluido generados (Figura 9c).



# Boletín mensual

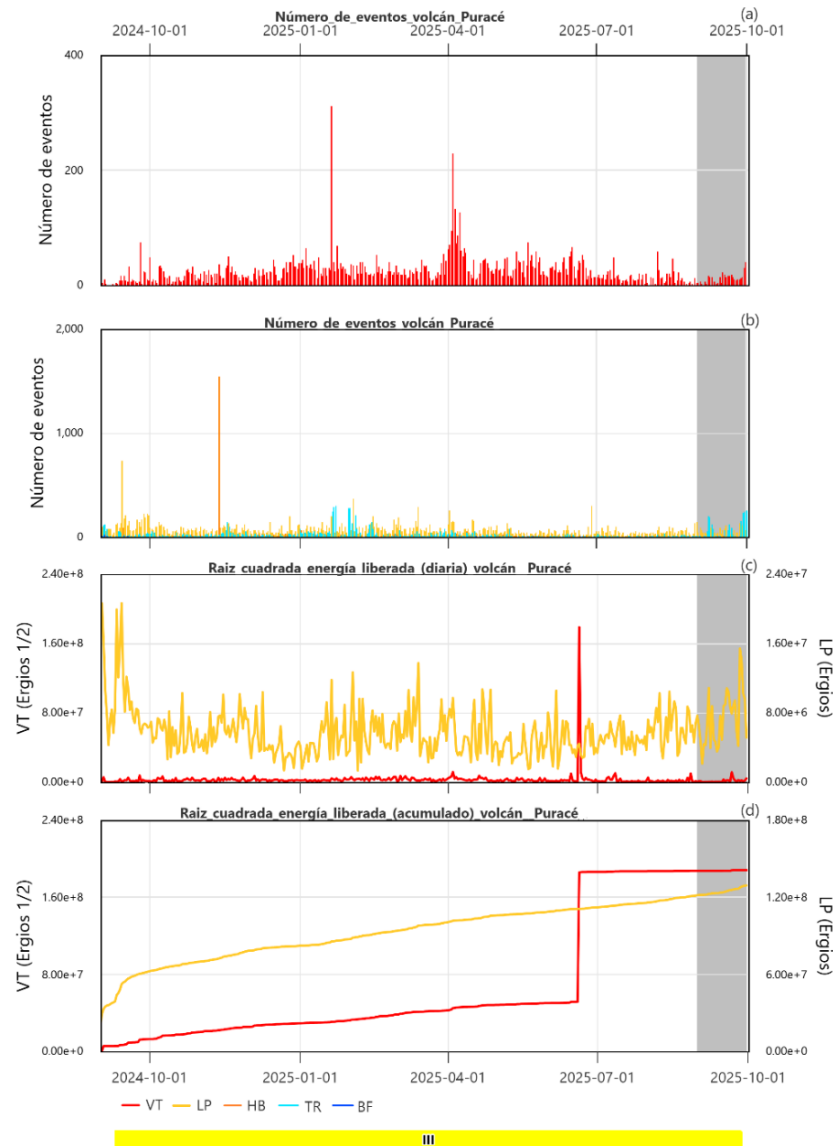


Figura 7. a) Número de sismos VT diarios, b) Número de sismos de fluidos diarios, c) Energía sísmica liberada diaria y d) Energía sísmica acumulada. Serie temporal entre el 1 de septiembre de 2024 y el 30 de septiembre de 2025. La región sombreada destaca el periodo evaluado en el presente Boletín.

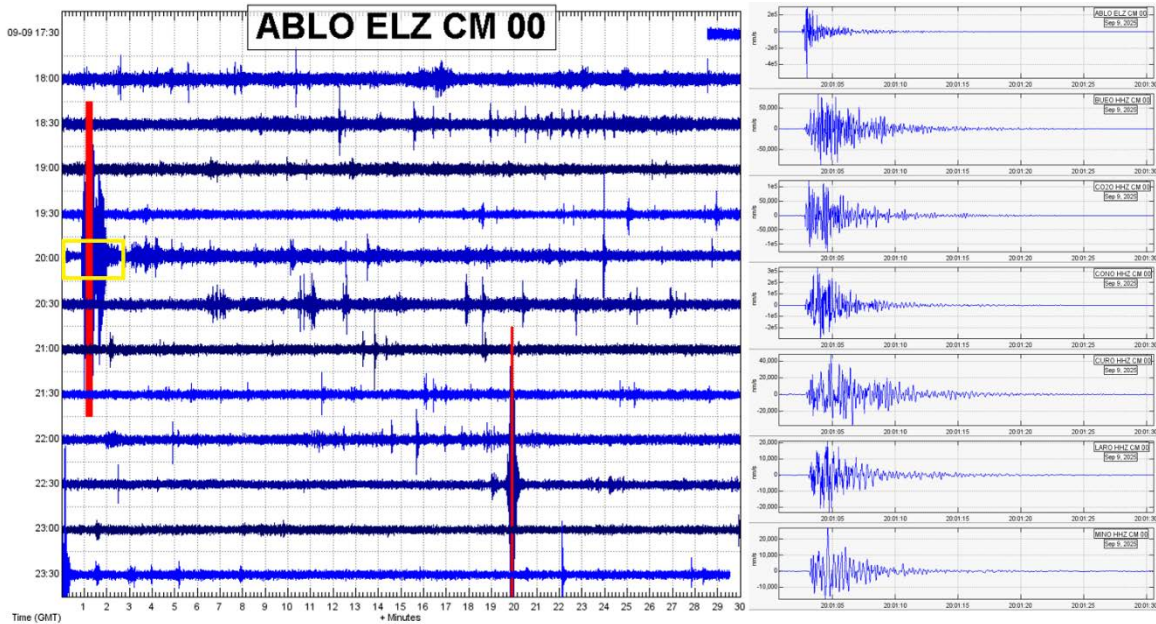


Figura 8. Señal sísmica de mayor magnitud registrada durante el periodo evaluado. Evento híbrido ocurrido el 9 de septiembre. A la izquierda el Helicorder de la estación Agua Blanca componente Z, a la derecha el detalle de la señal en las estaciones sísmicas proximales al volcán Puracé.

Desde inicios del mes de septiembre se tuvo registro de una señal de tremor continuo, la cual fue reportada en todos los [boletines semanales](#) de actividad del volcán Puracé – cadena volcánica Los Coconucos publicados durante el mes. Esta señal se mantuvo estable hasta el día 29, en el que aumentó su amplitud, por consiguiente, su energía. En la Figura 10 se muestra el detalle del incremento en la señal sísmica, también se puede observar en el espectro de frecuencia y espectrograma una banda frecuencial dominante que es cercana entre 7 y 12 Hz. Si bien la demás actividad sísmica registrada durante el mes de septiembre se mantuvo dentro de los promedios que se vienen reportando durante los dos (2) últimos años de monitoreo en cuanto a número de eventos y energía liberada por los mismos se refiere, la aparición del tremor continuo junto con sus características frecuenciales y aumento en su amplitud, continúan mostrando una evolución constante del sistema volcánico, y presencia de procesos activos que varían su intensidad.



# Boletín mensual

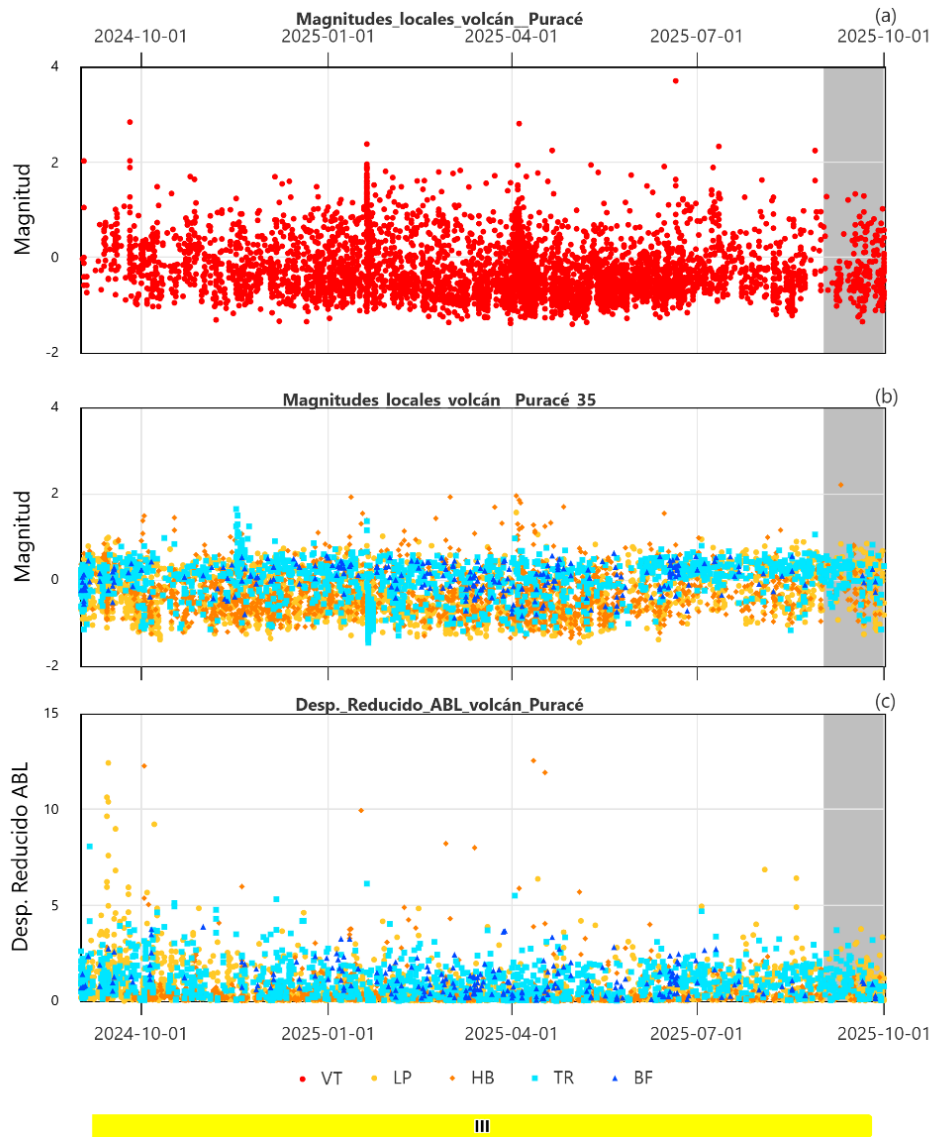


Figura 9. a) Magnitudes eventos VT, b) Magnitudes eventos de fluidos c) Desplazamiento reducido de la sismicidad de fluidos. Serie temporal entre el 1 de septiembre de 2024 y el 30 de septiembre de 2025. La región sombreada destaca el periodo evaluado en el presente Boletín.

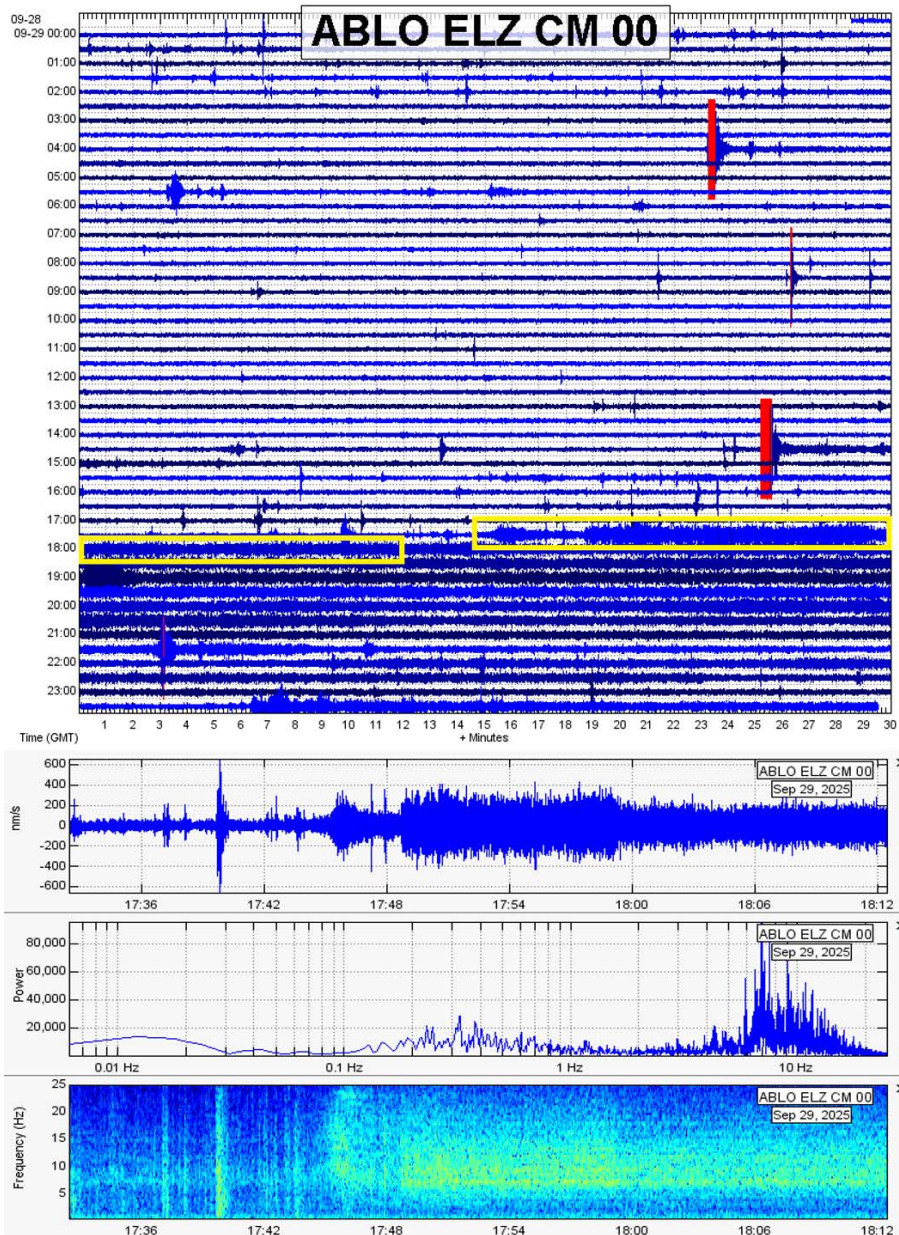


Figura 10. Visual del aumento en la energía del tremor continuo, ocurrido el 29 de septiembre. Arriba Helicorder de la estación Agua Blanca componente Z, registro de todo el día, seguidos hacia abajo del detalle del inicio de la señal en sismograma, espectro de frecuencia y espectrograma en la misma componente.



# Boletín mensual

Para el mes de septiembre las localizaciones obtenidas para los sismos de fractura y fluidos conservaron, en su mayoría, las características de distribución epicentral y de profundidad usualmente observadas durante los últimos años: la fuente sísmica con mayor actividad continuó siendo la ubicada bajo los volcanes Puracé, Picoello y Curiquinga, a niveles superficiales que oscilaron entre 0,5 y 3 km, con magnitudes bajas inferiores a 2,0. Aquellos generados en el sector de Chagartón, tuvieron profundidades un poco mayores (entre 5 y 7 km) y también presentaron magnitudes bajas. Las fuentes distales, como Patico – La Cabrera al noroeste, Valle de Paletará al suroeste y Bedón al noreste, tuvieron profundidades de generación entre 6 y 17 km e igualmente magnitudes bajas (Figura 11). Cabe mencionar que, si bien la sismicidad en las zonas distales no se da de manera recurrente, en otros periodos se han registrado eventos sísmicos de magnitudes importantes que pueden afectar la estabilidad del volcán, lo que evidencia la interacción compleja que suele darse entre estructuras como fallas y lineamientos y los procesos relacionados con la actividad volcánica.

Las localizaciones obtenidas para los eventos de fluidos muestran también estabilidad en cuanto a las características de las fuentes sísmicas, dándose en dos sectores: el primero a niveles muy superficiales, bajo la parte occidental del cráter del volcán Puracé, allí los sismos mayoritariamente dados son LP, BF y pulsos de tremor espasmódico de baja magnitud. El otro sector se encuentra a niveles un poco más profundos (entre 1 y 3 km), bajo el borde sur, este y sureste del mismo, en límites con el edificio del volcán Picoello, donde se generan principalmente HB (Figura 12).



# Boletín mensual

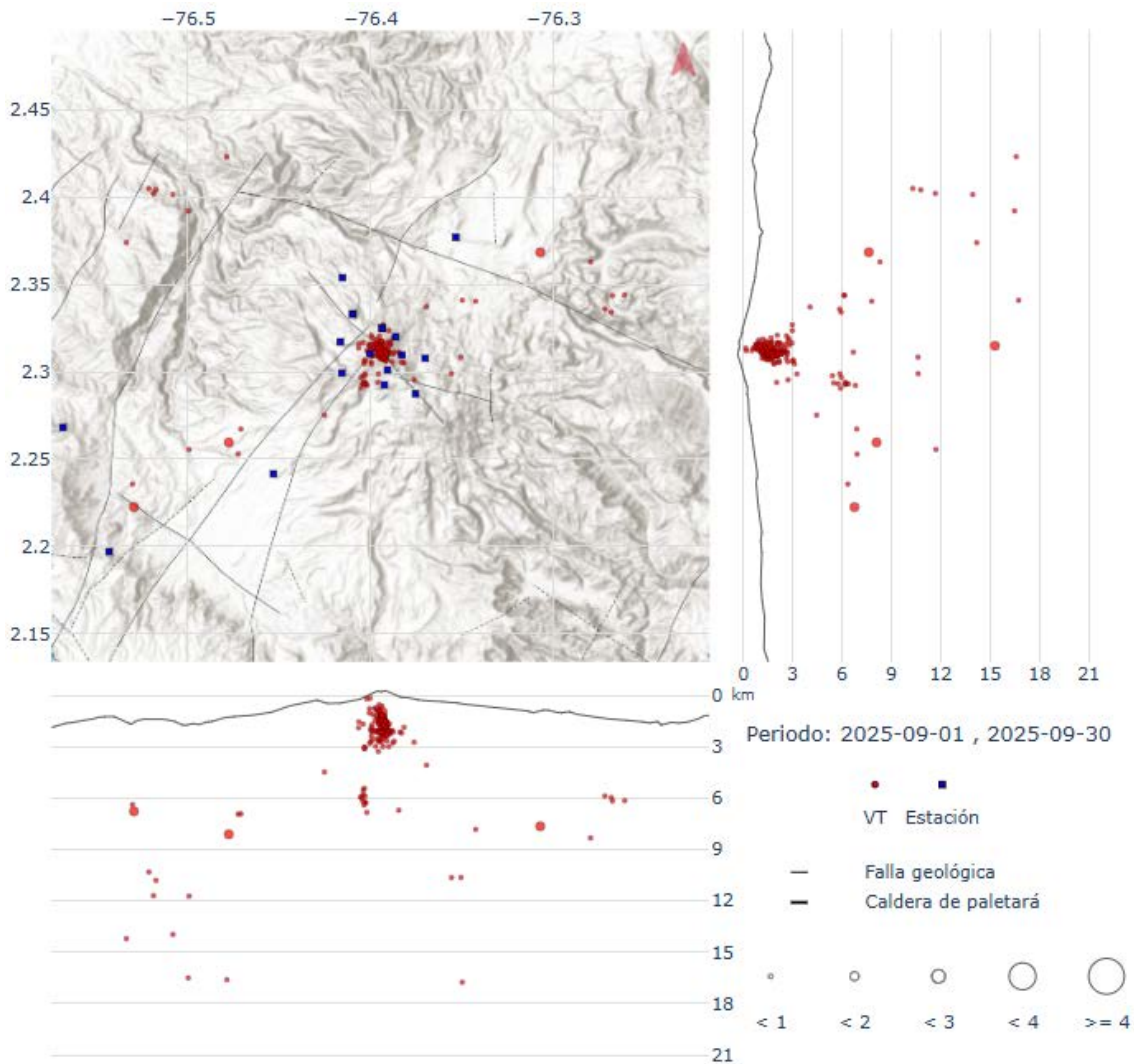


Figura 11. Mapa de la localización de la sismicidad de fractura ocurrida durante el mes de septiembre de 2025 en la CVLC - VP. Los círculos indican las localizaciones epicentrales e hipocentrales, cuyos tamaños varían según la magnitud calculada. Los cuadros azules representan las estaciones sísmicas.



# Boletín mensual

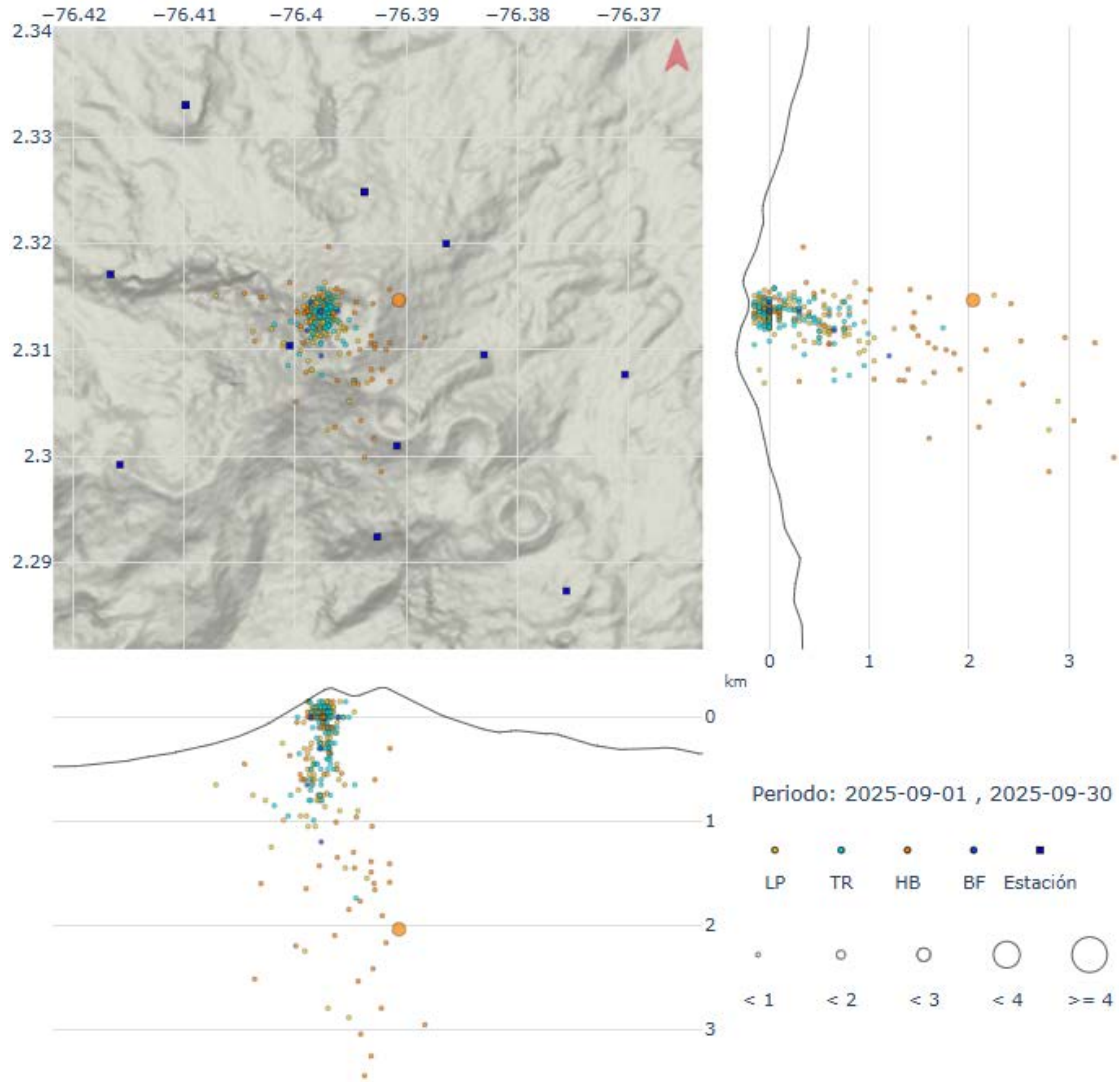


Figura 12. Mapa de localización de la sismicidad de fractura ocurrida durante el mes de septiembre de 2025 en la CVLC - VP. Los círculos indican las localizaciones epicentrales e hipocentrales, cuyos tamaños varían según la magnitud calculada. Los cuadros azules representan las estaciones sísmicas.



El monitoreo realizado a través de la red de estaciones GNSS (Sistema Global de Navegación por Satélite) continuó evidenciando un proceso de deformación en la parte alta de la CVLC, con mayores desplazamientos entre los volcanes Puracé, Picollo y Curiquinga. Esta deformación se ha caracterizado por ser dominante en las componentes horizontales (Norte y Este), sin embargo, las velocidades de deformación se mantienen bajas, como se muestra en la Figura 13 y Figura 14.

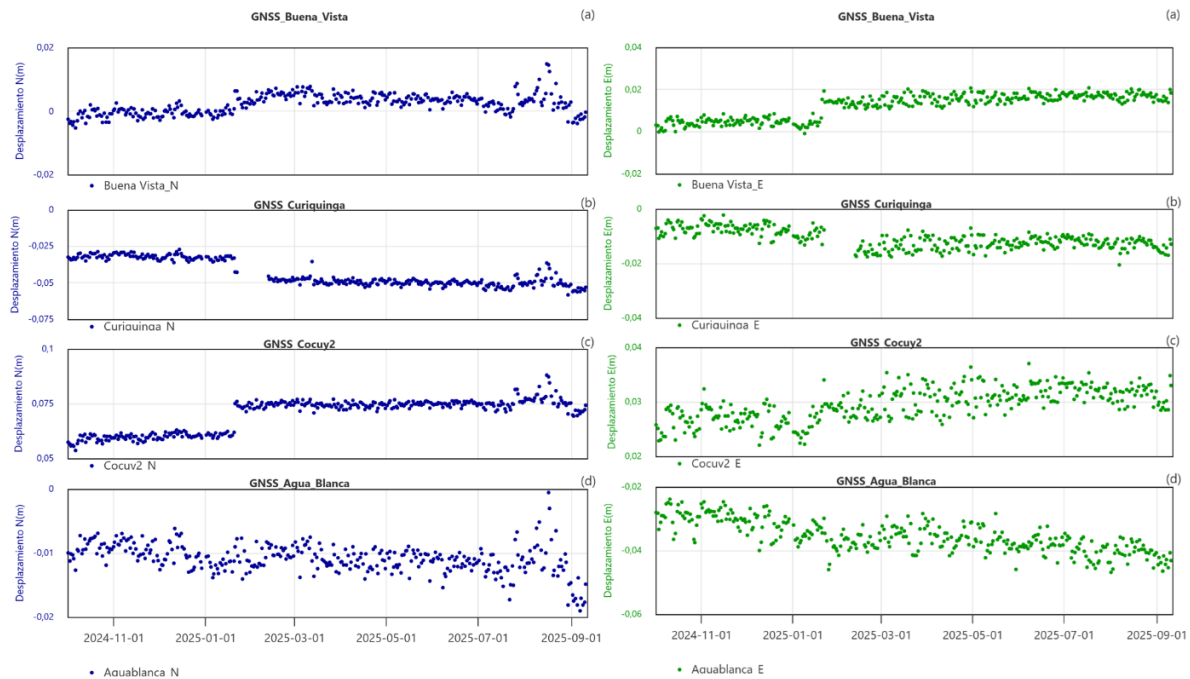


Figura 13. A la izquierda, series temporales de la componente Norte de las estaciones: a) Buena Vista, b) Curiquinga, c) Cocuy2 y d) Agua Blanca. A la derecha, series temporales de la componente Este de las mismas estaciones. El período de análisis abarca del 1 de octubre de 2024 al 30 de septiembre de 2025.

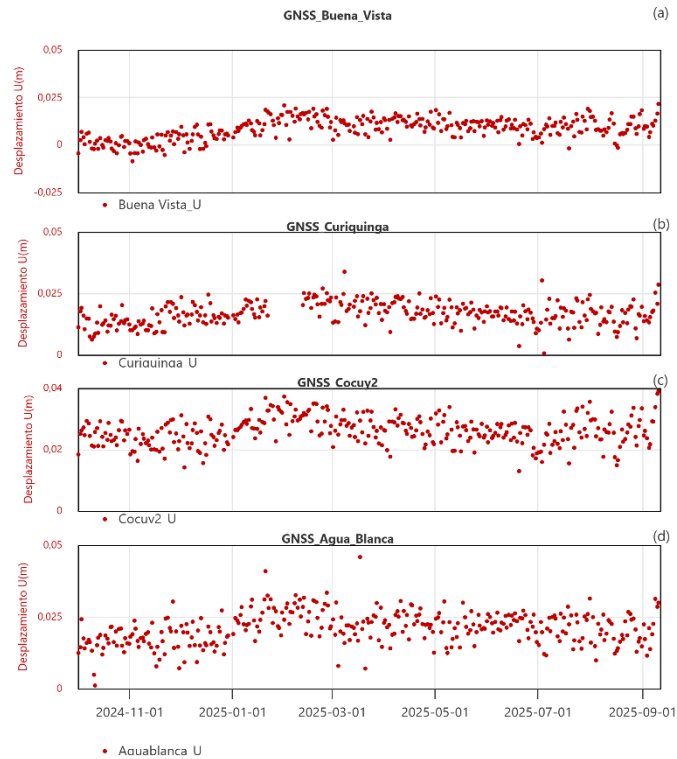


Figura 14. Series temporales de la componente Vertical de las estaciones: a) Buena Vista, b) Curiquina, c) Cocuy2 y d) Agua Blanca. El período de análisis abarca del 1 de octubre de 2024 al 30 de septiembre de 2025.

El registro del inclinómetro de Lavas Rojas se presenta en la Figura 15, en cuya serie temporal se evidencia para el periodo evaluado, una tendencia general estable. Se resalta únicamente una correlación marcada entre los picos de temperatura y ligeras variaciones en las componentes de inclinación, lo que sugiere que mediante esta técnica no se han identificado procesos asociados a deformación volcánica.

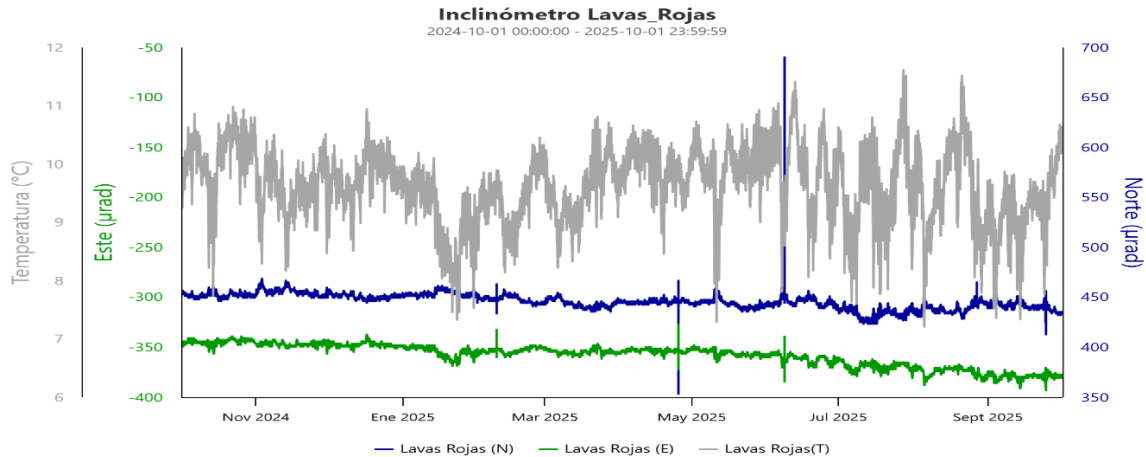


Figura 15. Serie temporal de la componente Este, Norte y Temperatura del inclinómetro de Lava Rojas. El período de análisis abarca del 1 de octubre de 2024 al 30 de septiembre de 2025.

Por otro lado, durante el mes fue posible evidenciar altos procesos de desgasificación en el campo fumarólico lateral e interno; la dispersión de estos gases se vio condicionada principalmente por la incidencia del viento.

Durante el periodo evaluado la dispersión de los gases emitidos desde los campos fumarólicos (Lateral e Interno) estuvieron condicionados por la acción del viento que circula entre estratos de 10.000 ft a 18.000 ft (3.048 – 5.486 msnm). La Figura 16, presenta el histograma del modelo pronóstico a mesoescala WRF/IDEAM (Weather Research and Forecasting) para el mes de septiembre, en donde se ilustra el comportamiento y tendencia del viento durante lo corrido del mes. Las velocidades máximas reportadas alcanzaron valores hasta de 10,9 m/s equivalentes a 39,2 km/h, (día 11 de septiembre) siendo la máxima velocidad alcanzada durante el mes; el estrato de 18.000 ft presentó una velocidad promedio de 8,8 m/s que equivalen a 32 km/h, con una dispersión y tendencia preferencial (diagrama rosa de los vientos) hacia el costado oeste-noroeste del edificio volcánico (Figura 16).

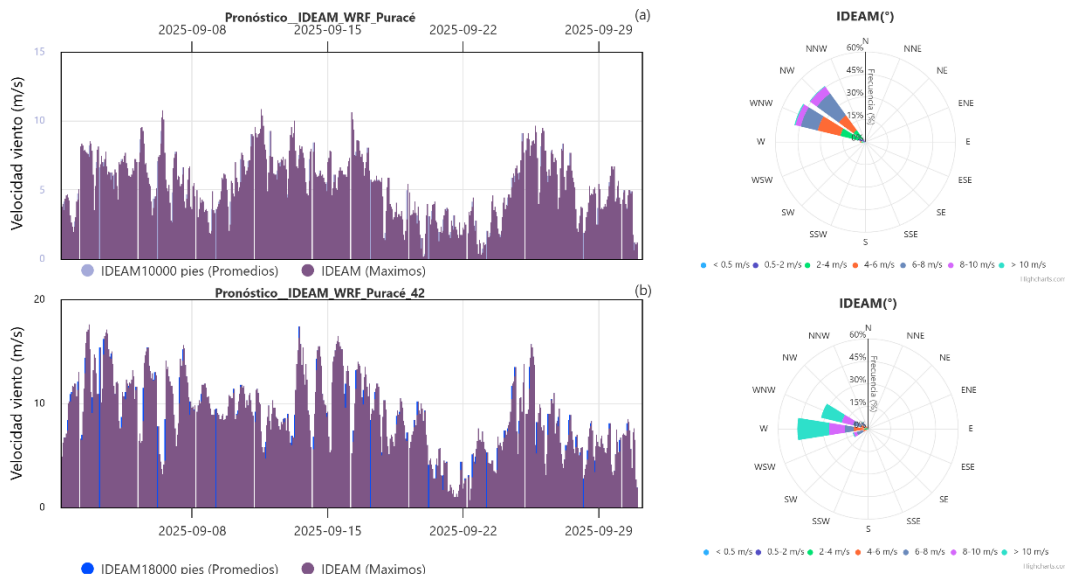


Figura 16. Velocidades diarias Modelo pronostico WRF-IDEAM, septiembre de 2025.

Mediante el monitoreo de la actividad superficial a través de las cámaras web fue posible evidenciar la alta desgasificación del sistema en forma de columnas de gas emitidas desde el campo fumarólico lateral y desde el interior del cráter del volcán Puracé. Para este periodo se apreciaron columnas densas de gases de color blanco, que se sostuvieron y alcanzaron alturas mayores a  $\geq 1$  km y se dispersaron preferencialmente hacia el occidente y noroccidente del edificio volcánico. Estas manifestaciones en la actividad del sistema hidrotermal se presentan luego de un prolongado periodo de recarga (intensas precipitaciones acumuladas), acompañado sísmicamente por bandas prolongadas de tremor de fondo.

Las Figura 17 y Figura 18 evidencian algunos procesos de desgasificación, que constantemente se emiten desde el campo fumarólico lateral y al interior del cráter del volcán Puracé, esta actividad es captada por las cámaras web Mina2, Picollo y Lavas Rojas. Desde el ángulo que cubre la cámara web Cerro Sombrero fue posible obtener un buen registro de la Cadena volcánica Los Coconucos

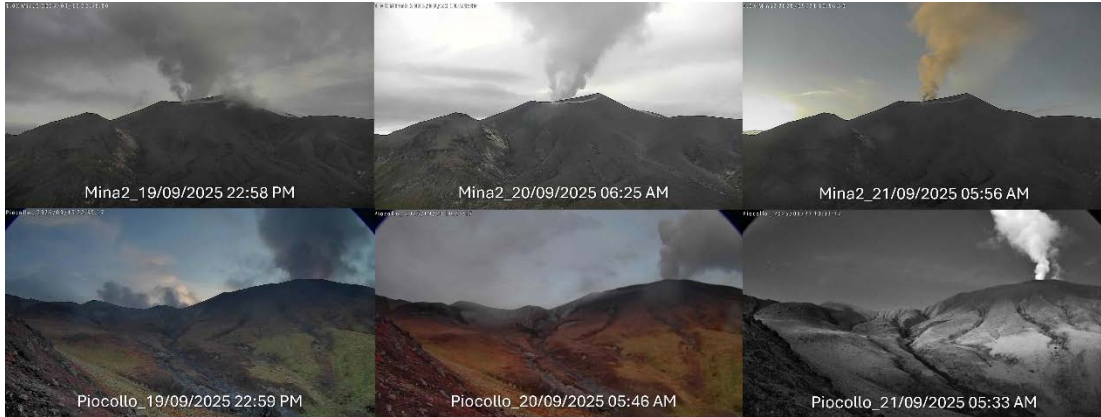


Figura 17. Imágenes cámara web Mina2 (superior) y Piocollo (inferior), 19, 20 y 21 de septiembre de 2025.

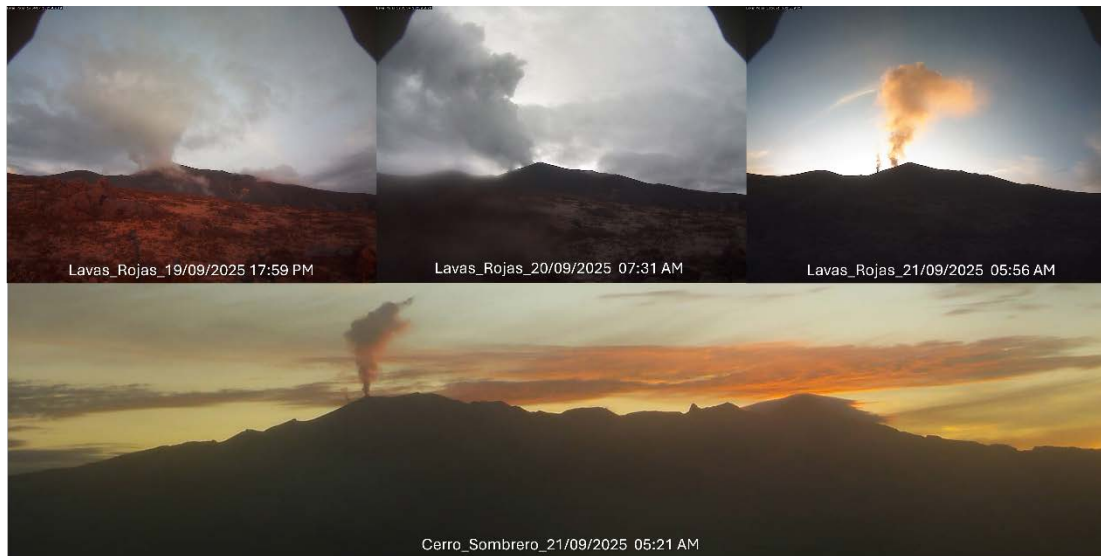


Figura 18. Imágenes cámara web Lavas Rojas (superior) y Cerro Sombrero (inferior), 19, 20 y 21 de septiembre de 2025.

Desde la cámara web en el volcán Curiquinga se resalta la recarga de la laguna al interior del cráter, producto de las precipitaciones registradas durante el mes; los depósitos sulfurosos resaltan el color turquesa por la alteración hidrotermal del medio. Figura 19.



Figura 19. Imágenes cámara web Curiquinga, 7 y 21 de septiembre de 2025.

En cuanto al monitoreo geoquímico para el mes de septiembre, se evidenció un aumento en las emisiones de  $\text{SO}_2$  relacionado con procesos de desgasificación continua desde el interior del cráter y a través de la fumarola lateral del volcán Puracé. En la Figura 20 se presentan los resultados del monitoreo geoquímico del volcán Puracé – CVLC resaltando el periodo evaluado. A través del monitoreo satelital se evidencia el aumento en las emisiones de  $\text{SO}_2$ , registrados con radios de entre 25-250 km, con dirección hacia el NW respecto al volcán Puracé, las cuales representan valores de masa emitida y concentración de hasta 0.280 kt y 2.924 DU, respectivamente. Este proceso se puede ver favorecido por un posible aumento en la permeabilidad del sistema volcánico.

El aumento mencionado se detectó también a través del monitoreo telemétrico con la estación vinagre 2, la cual registró un aumento paulatino en los valores de flujo y concentración promedio de  $\text{SO}_2$ , alcanzando valores máximos cercanos a 400 t/d en flujo y superiores a 500 ppm en la concentración, tal como se aprecia en la Figura 21. Por otra parte, también se registró un leve aumento en las emisiones de  $\text{CO}_2$  registradas por el flujómetro de piñuelas (ver Figura 22), las cuales alcanzan valores de flujo y concentración de hasta 230  $\mu\text{mol}/\text{m}^2\text{s}$  y 2368  $\mu\text{mol}/\text{mol}$  respectivamente; los demás instrumentos telemétricos de  $\text{CO}_2$  y gas radón (Rn), no registraron cambios significativos con valores de concentración que se mantienen dentro de los niveles registrados en meses anteriores.

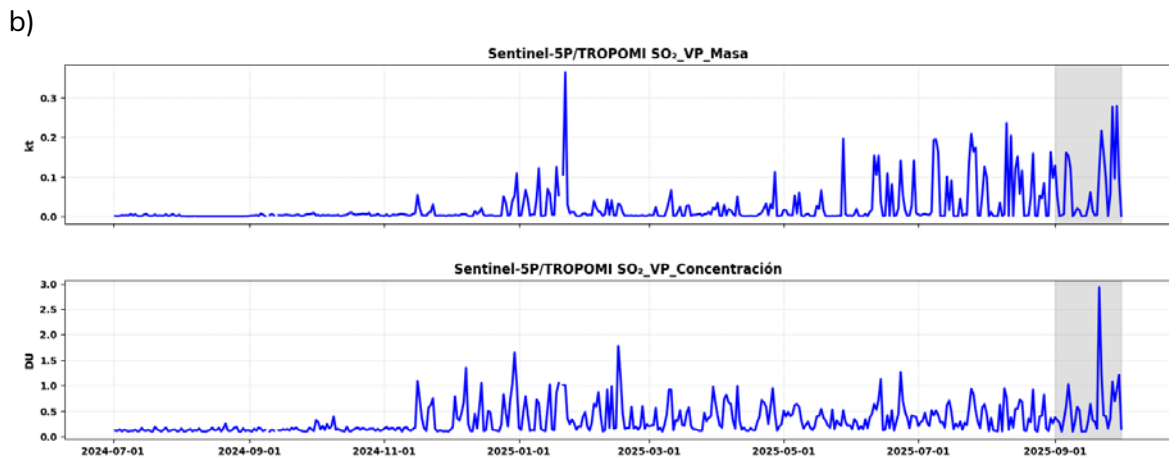
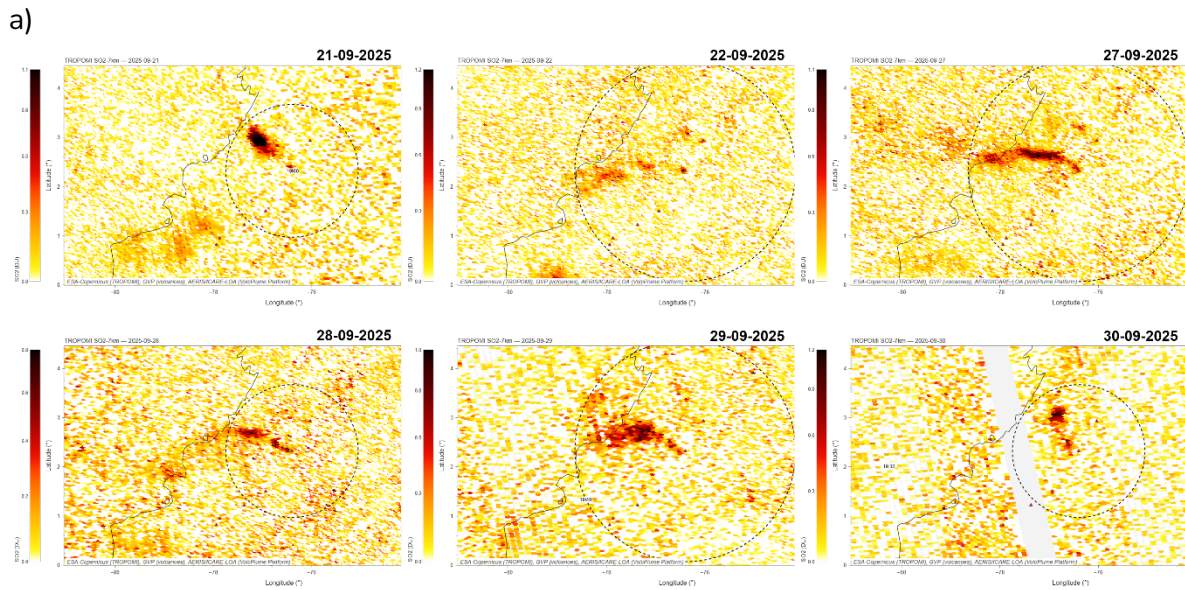


Figura 20. Registro de monitoreo satelital de SO<sub>2</sub> Volcán Puracé-CVLC – TROPOMI\_Sentinel-5P. a) Imágenes de detección satelital de SO<sub>2</sub>. b) Grafico de registro satelital de emisiones de SO<sub>2</sub> con relación a la masa emitida y concentración entre julio de 2024 y el mes de septiembre de 2025.



# Boletín mensual

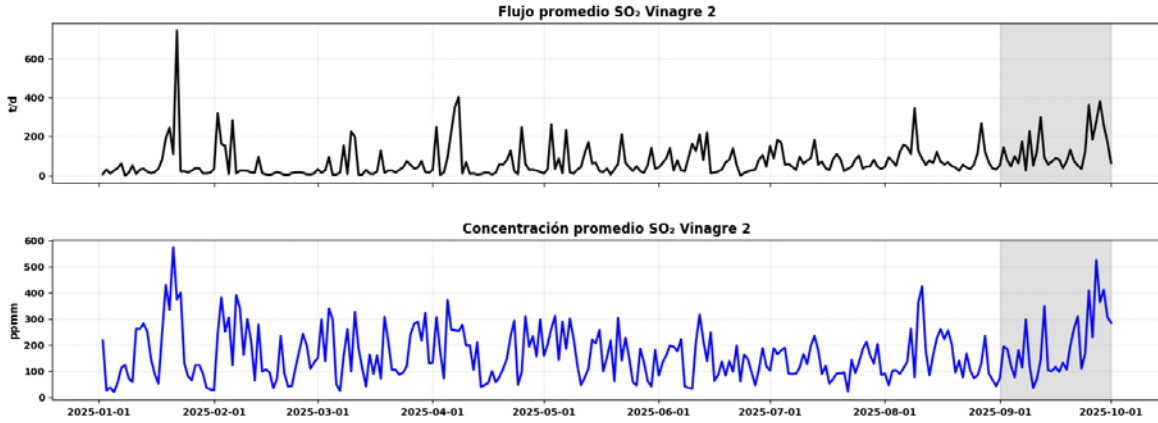


Figura 21. Registro de monitoreo telemétrico de SO<sub>2</sub> Volcán Puracé-CVL

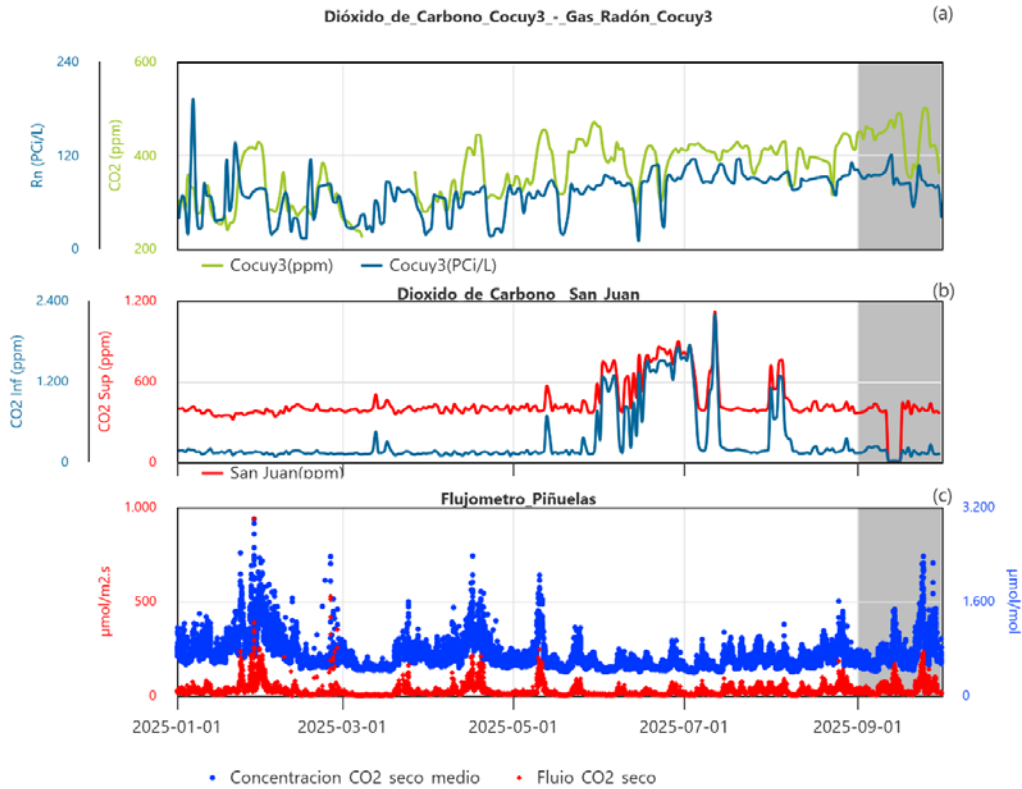


Figura 22. Registro de monitoreo telemétrico de CO<sub>2</sub> Volcán Puracé-CVLC



Finalmente, por medio del análisis de imágenes en el infrarrojo térmico se continuó observando la presencia de áreas con anomalías térmicas sobre el campo fumarólico del flanco Norte del volcán Puracé, alcanzando una temperatura máxima de 51,4 °C el día 30 de septiembre de 2025 (ver Figura 23)

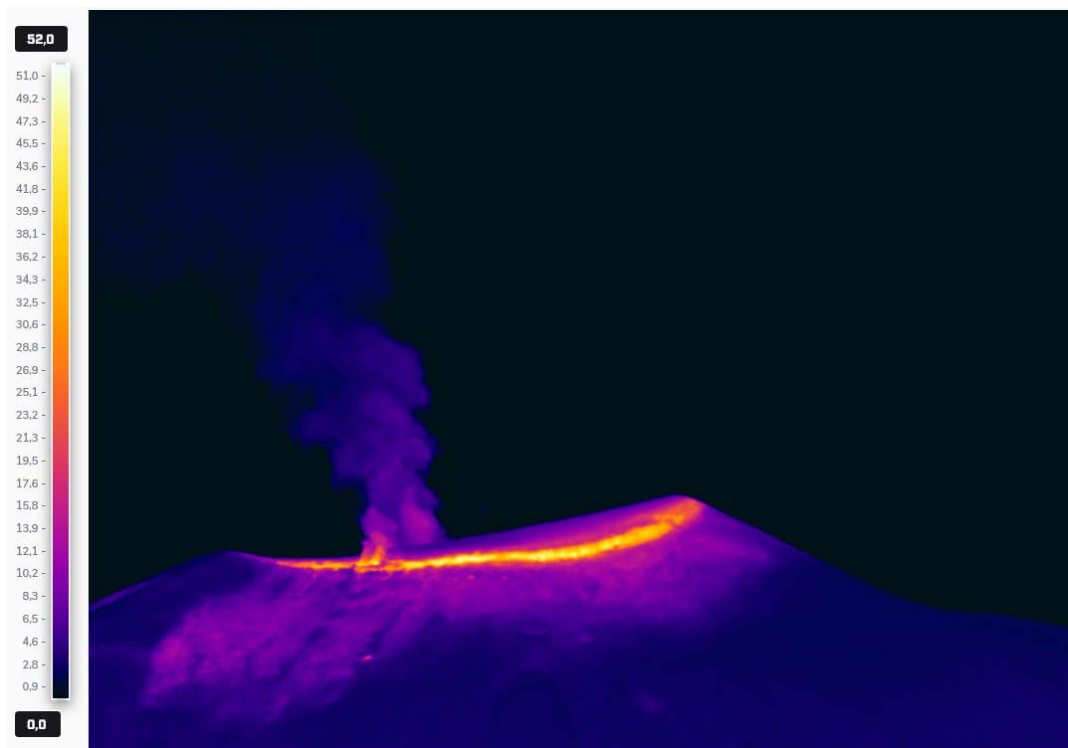


Figura 23. Termografía infrarroja del volcán Puracé del día 30 de septiembre de 2025, donde se registra la máxima temperatura del mes (51,4 °C).

Por lo anterior, el nivel de actividad del **volcán Puracé -CVLC** continúa en estado de **ALERTA AMARILLA** ■ (o III): volcán activo con cambios en el comportamiento del nivel base de los parámetros monitoreados y otras manifestaciones.



# Boletín mensual

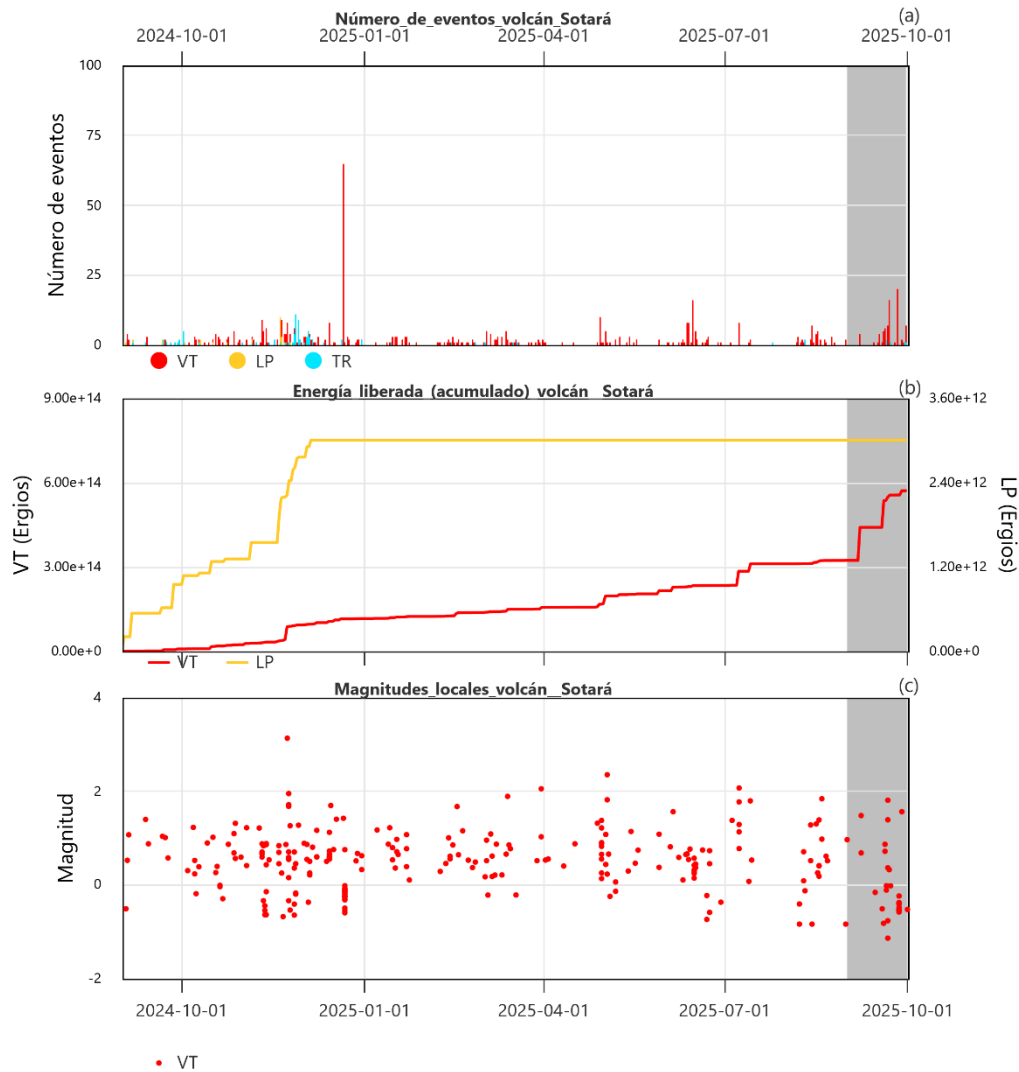


Entre el 1 y el 30 de septiembre se registraron en la zona de influencia del **volcán Sotará 81** eventos sísmicos, de los cuales 76 estuvieron relacionados con procesos de fracturamiento de roca (tipo VT) y cinco (5) con la dinámica de fluidos en los conductos volcánicos (tipo TR).

En la Figura 24 se muestran las series de tiempo entre septiembre de 2024 y septiembre de 2025 para número de eventos, energía sísmica liberada evaluada de forma acumulada, y valores de magnitud para sismos de fractura; en ellas se aprecia una tendencia estable durante el periodo evaluado, con pequeñas variaciones que se mantienen dentro de lo usualmente observado para esta estructura volcánica. En la Figura 25 se observan las localizaciones de los sismos de fractura obtenidas para el mes de septiembre; en total se localizaron 30 eventos de tipo VT, de los cuales 6 se distribuyeron en el sector del Valle de Paletará, hacia el norte y noreste del edificio volcánico, en un rango de profundidad que osciló entre 4 y 9 km. La máxima magnitud calculada para el mes fue de 1,8, correspondiente a un sismo generado a 14 km al noreste de la cima del volcán. Tres (3) eventos se localizaron al este a 12 km de la cima del volcán en un rango de profundidades entre 17 y 19 km y la máxima magnitud calculada fue de 1.3. Los 21 eventos restantes se localizaron debajo del edificio del volcán Sotará a profundidades entre 1 y 3 km, y sus magnitudes fueron inferiores a 1,0.



# Boletín mensual



III

Figura 24. Series de tiempo para los parámetros sismológicos analizados en el volcán Sotará entre septiembre de 2024 y septiembre de 2025. (a) Número de sismos registrados diariamente. (b) Energía sísmica liberada acumulada. (c) Magnitud local de los eventos VT localizados. La barra horizontal representa la temporalidad del nivel de alerta volcánica.



Las estaciones GNSS y el inclinómetro Triángulo continuaron mostrando un comportamiento estable a lo largo del mes evaluado. En el caso de los datos de las estaciones GNSS, es coherente con la tendencia de los últimos tres años, y en el caso del inclinómetro, las variaciones detectadas se asocian con cambios de temperatura y no con deformación del volcán (Figura 26).

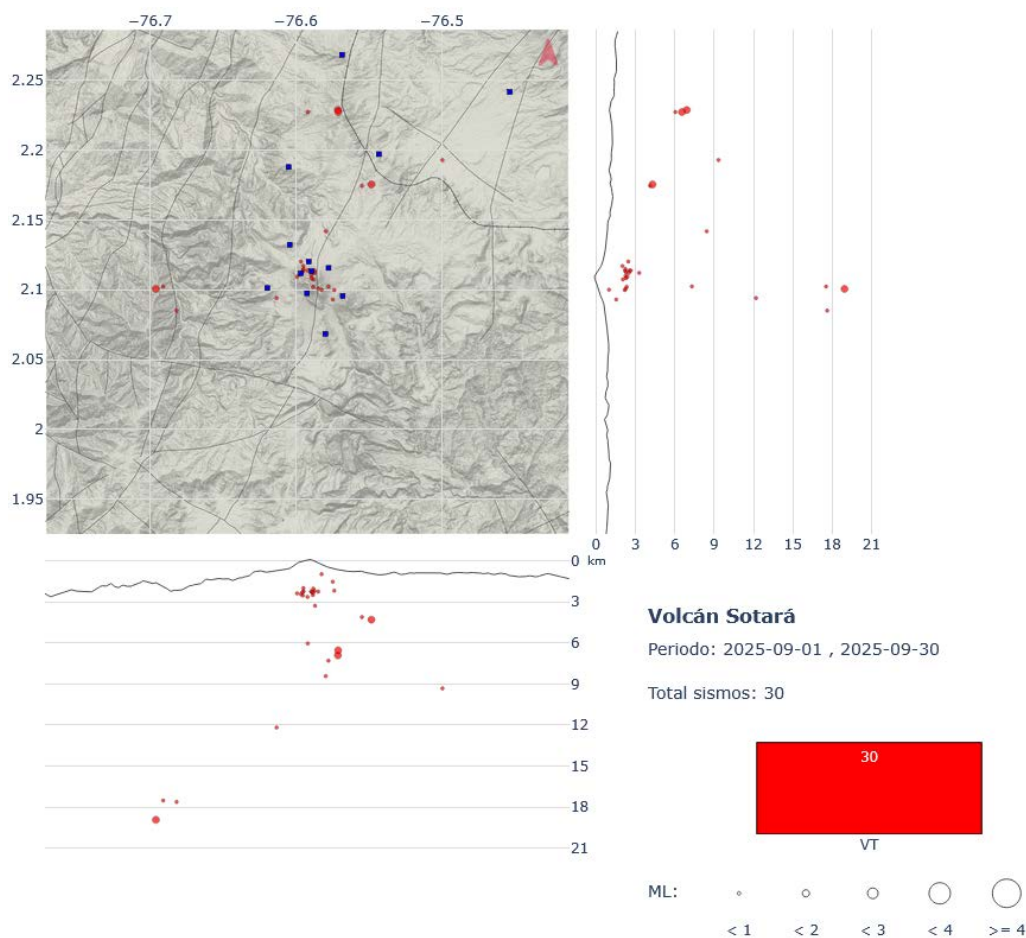


Figura 25. Mapa de localización de eventos volcano-tectónicos ocurridos durante septiembre de 2025 en el volcán Sotará. Los círculos indican las localizaciones epicentrales e hipocentrales, cuyos tamaños varían según la magnitud local calculada (ML). Los cuadros azules representan las estaciones sísmicas.

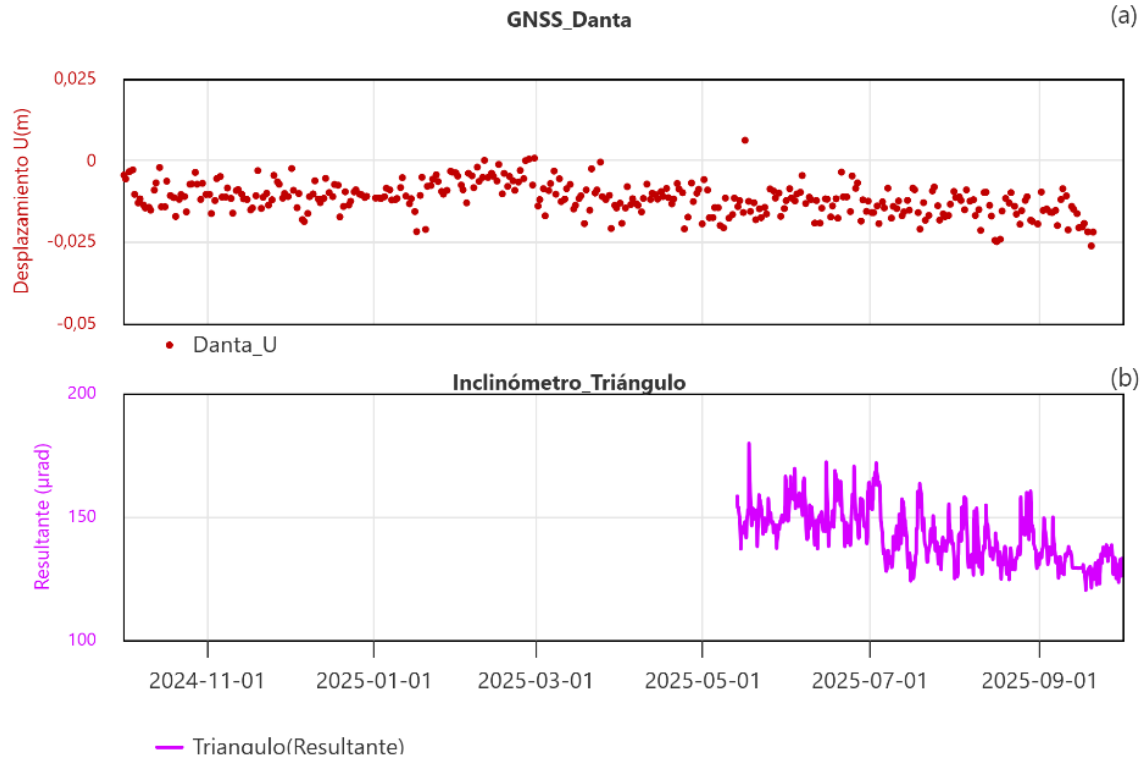


Figura 26. (a) Serie temporal de la componente Vertical en la estación GNSS permanente Danta, entre el 1 de octubre de 2024 y el 30 de septiembre de 2025. (b) Registro de la serie temporal del Inclinómetro Triángulo cuyo registro se reestableció desde el pasado mes de mayo.

En las imágenes obtenidas por las cámaras web Cerro Crespo y Majúas-Sotará no se detectaron cambios morfológicos ni procesos asociados con emanaciones de gases (Figura 27).

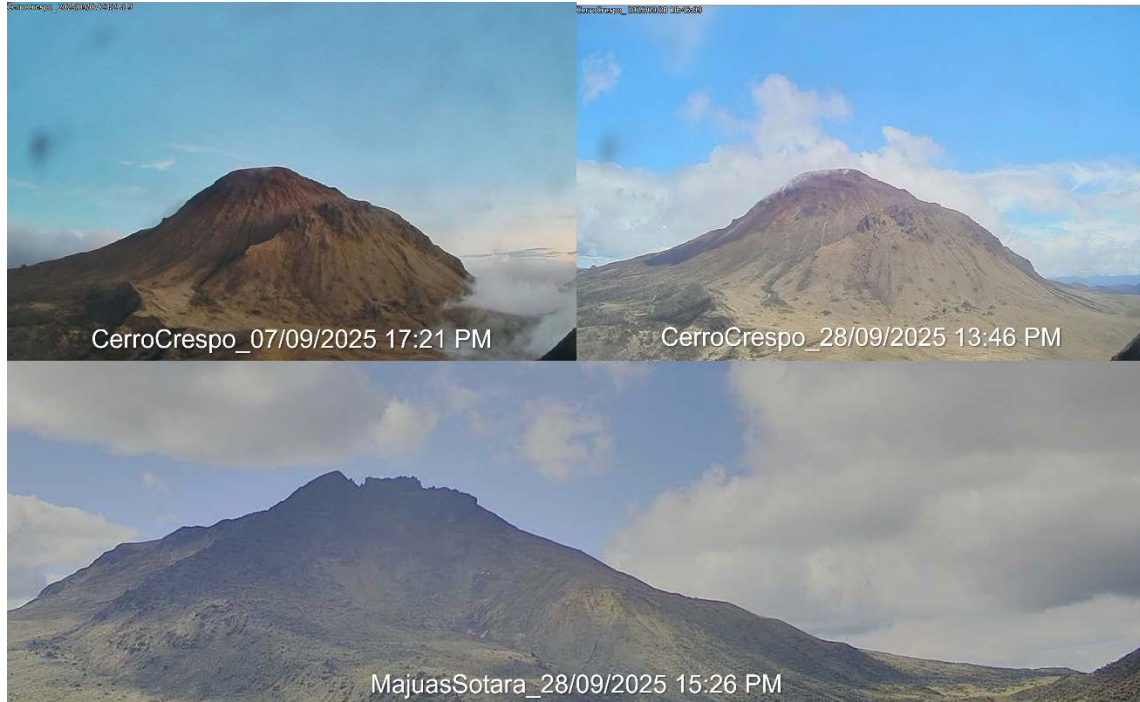


Figura 27. Imágenes captadas por las cámaras web del volcán Sotará: Cerro Crespo (superior) 7 y 28 de septiembre 2025 y Majúas Sotará (inferior) 28 de septiembre de 2025

Por lo anterior, el nivel de actividad del **volcán Sotará** continúa en **ALERTA AMARILLA** ■ **(o III)**: volcán activo con cambios en el comportamiento del nivel base de los parámetros monitoreados y otras manifestaciones.



# Boletín mensual



Durante el mes de septiembre se registraron seis (6) eventos sísmicos de fractura de baja magnitud en el área de influencia del volcán **Sucubún**. Mediante la cámara web Majúas-Sucubún no se apreciaron cambios superficiales. El nivel de actividad volcánica del **volcán Sucubún** se mantiene en **ALERTA VERDE** ● (o IV): volcán activo en reposo.

El **SERVICIO GEOLÓGICO COLOMBIANO** permanece atento a la evolución del fenómeno volcánico y continuará informando de manera oportuna los cambios que se puedan presentar; así mismo seguirá participando activamente de procesos de socialización y acompañamiento técnico a las autoridades y comunidades.

Para más información se sugiere visitar la página web en el siguiente enlace:  
<https://www.sgc.gov.co/volcanes/index.html>

**SERVICIO GEOLÓGICO COLOMBIANO**  
**DIRECCIÓN DE GEOAMENAZAS**